

В. Н. ВЕКСИН

БОКОВАЯ РЕФРАКЦИЯ И ХАРАКТЕР РЕЛЬЕФА

Одним из основных факторов, формирующих аномальную часть боковой рефракции, является характер рельефа. Если рассматривать причины изменения аномального поля рефракции (АПР) в пространстве и во времени, то рельеф местности совместно с подстилающей поверхностью определяет пространственную часть изменений. Это нашло свое воплощение в методах учета боковой рефракции, использующих теорию параллельности поверхностей $T = \text{const}$ поверхности рельефа.

Вместе с тем в некоторых публикациях, например [2], отмечается, что параллельность указанных поверхностей небезусловна и зависит от таких факторов, как структура и однородность подстилающей поверхности, динамическое состояние атмосферы и др. Учитывая вышеизложенное, а также то обстоятельство, что характер рельефа по каждому конкретному направлению можно представить численно, правомерно поставить вопрос — будет ли наблюдаться статистическая связь между точностью геодезических измерений и параметрами, характеризующими рельеф. Кроме того, определенный практический интерес представляет собой исследование указанных связей на материалах производственных измерений. В настоящей статье сделана попытка на производственных материалах выявить статистическую связь между характером рельефа и точностью азимутальных определений.

Характер рельефа можно выразить эквивалентной высотой визирного луча над поверхностью h_3 и рефракционной опасно-

сти по данному направлению Σ , которые вычисляются по формулам

$$h_9 = \frac{S^2}{2 \sum_{i=1}^n \frac{1}{h_i} S_i \Delta S_i}; \quad (1)$$

$$\Sigma = \sum_{i=1}^n \operatorname{tg} \alpha_i \cos v_i S_i \Delta S_i, \quad (2)$$

где S — длина линии визирования; ΔS_i — длина элементарного i -го отрезка; h_i — средняя высота отрезка ΔS_i над поверхностью; S_i — расстояние от конечного пункта до середины отрезка ΔS_i ; α_i — угол между горизонтальной и изотермической поверхностями для отрезка ΔS_i ; v_i — угол между линией пересечения указанных поверхностей и визирной линией.

В [3] отмечается преобладающее влияние местных аномальных полей рефракции на высокоточные измерения и указывается, что средняя квадратическая величина влияния аномальных полей на точность определения азимутов Лапласа составляет в среднем $0,6'' - 0,8''$. Исходя из этого, а также принимая во внимание величину средней квадратической ошибки определения азимута Лапласа $M_\alpha = 0,5''$ [3], правомерно предположить, что влияние боковой рефракции — один из основных факторов, регламентирующих точность азимутальных определений, а характер рельефа — важнейшая составляющая

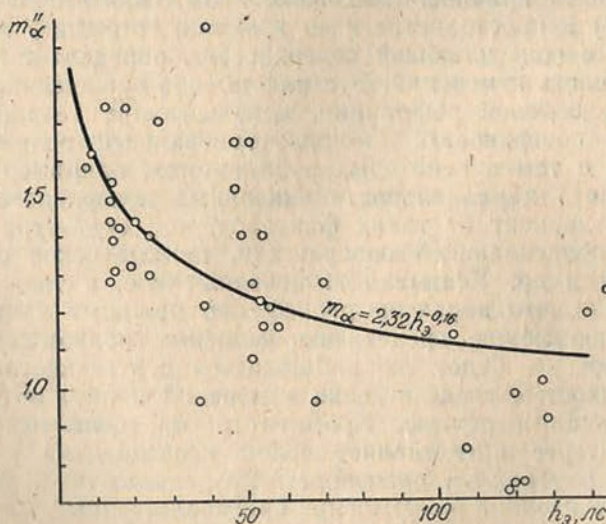


График зависимости средней квадратической ошибки определения азимута от эквивалентной высоты визирного луча.

Таблица сравнения взаимообратных Σ , m_α и h_α

Название направления	$\Sigma \cdot 10^{-4}$	m_α	$h_\alpha, \text{м}$	Зависимость m_α от Σ	Вес p
1—2	34 221	0,96 1,17	67,6 53,9	+	0,20
3—4	385 50	1,22 0,96	38,5 37,3	+	0,26
5—6	462 241	0,73 1,01	119,0 126,8	-	0,12
7—8	216 171	1,27 1,22	69,7 55,2	+	0,01
9—10	220 480	0,81 1,25	128,3 144,6	+	0,22
11—12	341 1605	0,74 1,19	119,9 139,3	+	0,42
13—14	150 328	0,74 0,98	121,9 119,9	+	0,15
15—16	367 611	0,83 1,13	107,5 103,5	+	0,11
17—18	19 16	1,50 1,44	14,0 13,7	+	0,00
17—19	16 16	1,43 1,29	15,5 14,0	0	0,00
18—19	6 10	1,62 1,58	8,6 7,5	-	0,01
20—21	8 51	1,30 1,30	14,6 24,2	0	0,00
22—23	81 114	1,23 1,95	54,1 39,1	+	0,11
24—25	34 104	1,40 1,27	53,5 51,8	-	0,07
26—27	457 805	1,65 1,52	50,1 46,7	-	0,03
28—29	36 122	1,65 1,40	46,6 48,5	-	0,13
30—31	110 11	1,44 1,32	20,9 19,1	+	0,10
32—33	116 87	1,70 1,40	26,7 24,5	+	0,04
34—35	68 16	1,54 1,74	14,4 18,2	-	0,09
36—37	185 35	1,74 1,39	12,7 15,3	+	0,21
38—39	459 560	1,16 1,07	57,2 51,1	-	0,01

этого фактора. Для подтверждения приведенного предположения мы собрали материал по 42 азимутам Лапласа, от наблюденных по часовому углу Полярной, на сдвоенных пунктах попарно образующих 21 базисную сторону. Собранный материал представляет районы с различным характером рельефа европейской части нашей страны. При обработке материала вычислены значения h_a и Σ для всех 42 азимутов. Результаты вычислений сведены в таблицу.

На рисунке построена точечная диаграмма, по оси Y которой откладывали значения m_a , а по оси X — эквивалентные высоты h_a . Сопоставляя полученные значения h_a с соответствующими значениями m_a , отмечаем обратную связь между этими значениями. Если в качестве функции, аппроксимирующей рассматриваемую связь, выбрать функцию вида

$$Y = aX^b, \quad (3)$$

то приближение ее по способу наименьших квадратов приводит к получению выражения

$$m_a = 2,32 h_a^{-0,16}. \quad (4)$$

Определяя коэффициент корреляции, отражающий связь между m_a и h_a , при $n=42$ получаем $r=-0,71$. Согласно критерию Фишера связь можно считать установленной, так как в нашем случае $r_{\min}=0,39$ при $0,62 \leq |r| \leq 0,78$.

Из анализа зависимости m_a от Σ следует.

1. В общем массиве рассматриваемой статистической выборки прямой связи между значениями m_a и Σ не наблюдается. Это можно объяснить тем, что такие факторы, как эквивалентная высота, физико-географические условия и сезонность наблюдений, а также приборные ошибки и личные ошибки наблюдателей отягощают рассматриваемую выборку фактором неравноточности и в комплексе оказываются более значительными, нежели фактор рефракционной опасности.

2. Чтобы выявить интересующую нас статистическую связь, необходимо исключить, насколько это возможно, воздействие посторонних факторов.

3. Принадлежащие взаимообратным азимутам значения m_a с некоторой вероятностью P находятся в прямой зависимости от соответствующих им значений Σ . Это можно заметить, анализируя обозначения в столбцах 2 и 3 таблицы.

В столбце 5 знаком плюс обозначены те базисы, у которых большие m_a прямого или обратного азимута соответствуют большим значениям Σ . В противном случае направления обозначались знаком минус. При равенстве взаимообратных m_a или Σ зависимости получали нулевое обозначение.

Для вычисления вероятности P придали каждому из направлений веса p , в основу вычислений которых положим следующие утверждения: а) пара, состоящая из прямого и обратного азимутов, наблюдалась одним исполнителем; б) прямую и обратную эквивалентные высоты одного базиса, рассматри-

ваемые в контексте воздействия их на величины m_α , можно считать одинаковыми; в) пара взаимообратных азимутов наблюдалась в течение одного сезона, благодаря чему метеоусловия во время наблюдений были близки к идентичным.

Таким образом, в качестве преобладающего фактора, создающего различие в аномалиях рефракции прямого и обратного лучей, можно считать разности $|\Sigma_{\text{пр}}| - |\Sigma_{\text{обр}}|$, что и возьмем за основу при вычислении веса p каждого «положительного» и «отрицательного» события.

Кроме того, учтем, что уровень значимости каждого события зависит от того, насколько будут близки друг к другу отношения расхождений взаимообратных величин m_α и Σ к их средним значениям. Исходя из вышеизложенного, положим

$$c = \frac{m_{\text{пр}} - m_{\text{обр}}}{\sqrt{m_{\text{пр}}^2 + m_{\text{обр}}^2}} ; \quad d = \frac{|\Sigma_{\text{пр}}| - |\Sigma_{\text{обр}}|}{|\Sigma|_{\text{ср}}} . \quad (5)$$

Окончательно для p получим

$$p = c \cdot d . \quad (6)$$

Причем азимуты, у которых $c=0$ или $d=0$ (имеющие обозначение «0» в столбце 5 таблицы), в обработку можно не принимать, так как их вес равен нулю.

Тогда искомая вероятность P будет найдена из выражения

$$P = \frac{[p_+]}{[p_+] + [p_-]} . \quad (7)$$

Здесь $[p_+]$ и $[p_-]$ — суммы весов положительных и отрицательных исходов соответственно. В столбце 6 таблицы представлены веса p , вычисленные по формулам (5) и (6). Подставив значения p_+ и p_- в (7), получим искомую вероятность

$$P = \frac{1,83}{1,83 + 0,46} = 0,80 .$$

Полученная вероятность дает возможность утверждать, что при прочих равных условиях точность результатов наблюдений на пункте, характеризующаяся величиной m_α , находится в прямой зависимости от рефракционной опасности Σ .

1. Большаков В. Д., Гайдаев П. А. Теория математической обработки геодезических измерений. М., 1977.
2. Островский А. Л. К вопросу о боковой рефракции // Науч. зап. ЛПИ. Сер. геодезическая. 1961. № 6. С. 5.
3. Справочник геодезиста. М., 1982.

Статья поступила в редакцию 20.06.87